

ЭЛЕКТРОДИНАМИКА И РАСПРОСТРАНЕНИЕ РАДИОВОЛН

УДК 537.86;621.37

ЭНЕРГЕТИЧЕСКИЕ ПОТЕРИ ПРИ СРАЩИВАНИИ ДВУХ ОПТИЧЕСКИХ ВОЛОКОН, ОДНО ИЗ КОТОРЫХ ЭЛЛИПТИЧЕСКИ ДЕФОРМИРОВАНО В МЕСТЕ СОЕДИНЕНИЯ

© 2020 г. В. А. Гладких^а, В. Д. Власенко^а, *^аВычислительный центр Дальневосточного отделения РАН,
ул. Ким Ю Чена, 65, Хабаровск, 680000 Российская Федерация

*E-mail: vlasenko@as.khb.ru

Поступила в редакцию 18.03.2020 г.

После доработки 18.03.2020 г.

Принята к публикации 27.03.2020 г.

Рассмотрены круглый и эллиптический (в месте соединения) в поперечном сечении два фрагмента волоконно-оптической линии передачи информации. Для одномодового режима работы получены аналитические выражения для потерь энергии при соединении двух таких фрагментов. Показано, что потери энергии возрастают при увеличении эксцентриситета и одновременно уменьшаются при увеличении волноводного числа.

DOI: 10.31857/S0033849420110066

ВВЕДЕНИЕ

Конструирование и практическое построение волоконно-оптических линий связи должно учитывать максимально возможную безопасность от внешних воздействий (механических, электромагнитного поля и окружающей среды) для получения и передачи информации с возможно меньшими потерями [1–6]. Потери энергии связаны также с материалом оптоволокна [7]. Поскольку оптоволоконные линии связи ввиду большой протяженности состояются из отдельных фрагментов, то также следует учитывать потери, возникающие при сращивании отдельных фрагментов [4, 8]. Все это в полной мере относится и к широко применяемым в современных исследованиях волоконно-оптическим датчикам. В частности, некоторые фрагменты волокна могут быть деформированы [9, 10].

Цель данной работы – анализ потерь, возникающих при сращивании двух волокон (в одномодовом режиме), одно из которых круглое в поперечном сечении, другое – эллиптически деформировано (только практически в торце для упрощения анализа).

1. ПОЛЕ В ОДНОМОВОДОМ ВОЛОКНЕ СО СТУПЕНЧАТЫМ ПРОФИЛЕМ ПОКАЗАТЕЛЯ ПРЕЛОМЛЕНИЯ

При соединении волокон потери $a_{\text{пот}}$ можно рассчитать по следующей формуле (см., например, [11]):

$$a_{\text{пот}(NA)} = 10 \lg(NA_r/NA_c)$$

при рассогласовании апертур (см. далее формулу (6) и следующие) передающего и принимающего волокна, где NA_r , NA_c – числовые апертуры передающего и принимающего волокна, соответственно, или по [11]:

$$a_{\text{пот}(\rho)} = 10 \lg([\rho_r/\rho_c]^2),$$

если радиус сердцевин ρ_r передающего волокна больше радиуса сердцевин ρ_c принимающего.

При стыковке маломодовых оптических волокон также существует довольно точный расчет вносимых потерь $a_{\text{пот}}$ [12]:

$$a_{\text{пот}} = 10 \lg \left\{ \frac{\sqrt{\sum_{i=1}^{M_{\text{вх}}} [P_{lm}^{(\text{вх})}]^2}}{\sum_{i=1}^{M_{\text{вх}}} \sum_{j=1}^{M_{\text{вых}}} \eta_{mn}^2 [P_{lm}^{(\text{вх})}]^2} \right\},$$

где $P_{lm}^{(\text{вх})}$ – мощность модовой компоненты LP_{lm} оптического сигнала, поступающего с выхода “передающего” волокна “слева” на вход “принимающего” волокна “справа”, $M_{\text{вх}}$ – общее число модовых компонентов оптического сигнала, поступающего на вход волокна “справа”, $M_{\text{вых}}$ – общее число мод, возбуждаемых в волокне “справа” модовой составляющей сигнала LP_{lm} заданного порядка, η_{mn} – коэффициент связи вводимой и возбуждаемой моды соответствующего порядка. Предлагаемая методика дает хорошее совпадение с экспериментом, но сложна практически.

В данной статье предложен алгоритм, построенный на простых основах электродинамики и гауссовом приближении для поля, позволяющий рассчитать потери в обобщенном виде – в зависимости от эксцентриситета деформированного торца одного из стыкуемых волокон и от волнового числа.

При механическом соединении двух фрагментов оптоволокна (с одинаковым показателем преломления при нормальном падении волны на поперечное сечение) для коэффициента прохождения $D_{1 \rightarrow 2}$ из фрагмента 1 во фрагмент 2 (аналогично для $D_{2 \rightarrow 1}$ в обратном направлении) имеем (во избежание отражения на границе соединения фрагментов применяется технологический прием – контакт происходит по возможности точно и по центру):

$$D_{1 \rightarrow 2} = P_2/P_1, \quad (D_{2 \rightarrow 1} = P_1/P_2), \quad (1)$$

где P_1, P_2 (P_2, P_1) – соответственно передаваемая и получаемая фрагментами мощность энергии:

$$P_2 = \left(\oint_{\vec{f}} \vec{S} d\vec{f} \right)_2 = \int_{f_2} |S_2| df_2, \quad (2)$$

$$P_1 = \left(\oint_{\vec{f}} \vec{S} d\vec{f} \right)_1 = \int_{f_1} |S_1| df_1,$$

где f_1, f_2 – площади поперечного сечения соответственно 1-го и 2-го соединяемых фрагментов, S_1, S_2 – значения векторов Умова–Пойнтинга в соответствующих фрагментах. При этом соответствующие потери энергии $a_{\text{пот}}$ (в децибелах) вычисляются по следующим формулам [8, 11]:

$$a_{\text{пот}(1 \rightarrow 2)} = -10 \lg D_{1 \rightarrow 2}, \quad (a_{\text{пот}(2 \rightarrow 1)} = -10 \lg D_{2 \rightarrow 1}). \quad (3)$$

Для поля рассматриваемого волновода в одномодовом режиме достаточно хорошей моделью может служить гауссово приближение [11] ($r^2 = x^2 + y^2$, ось z – вдоль распространения волны):

$$E_{\text{круг}} \equiv E_{\text{эл}} \sim C \exp(-r^2/2r_0^2) \rightarrow D_{1 \rightarrow 2} = \frac{P_2}{P_1} = \frac{\int_{f_2} \exp(-r^2/r_0^2) df_2}{\int_{f_1} \exp(-r^2/r_0^2) df_1}; \quad (4)$$

$$D_{2 \rightarrow 1} = \frac{P_1}{P_2} = \frac{\int_{f_1} \exp(-r^2/r_0^2) df_1}{\int_{f_2} \exp(-r^2/r_0^2) df_2},$$

где r_0 – радиус модового пятна волокна, $E_{\text{круг}}, E_{\text{эл}}$ – круговая (циркулярная) и эллиптическая поляризации. Поскольку соединяемые фрагменты по всей длине круглые в поперечном сечении, кроме эллиптически деформированного торца одного из соединяемых фрагментов, то внутри этих фраг-

ментов поля совпадают – $E_{\text{круг}}, E_{\text{эл}}$, что и отражено в формуле (4).

2. РАСЧЕТ МОЩНОСТИ ЭНЕРГИИ

2.1. Мощность энергии, проходящей через поперечное круговое сечение первого фрагмента

Пусть при соединении фрагмент 2 эллиптически деформирован в поперечнике и, таким образом, в месте соединения поперечное сечение фрагмента 1 – круг, а фрагмента 2 – эллипс. Тогда можно записать (C – постоянная):

$$P_{1(\text{круг})} = C \int_0^{2\pi} d\phi \int_0^{\rho} \exp(-r^2/r_0^2) r dr = C \pi r_0^2 \{1 - \exp(-\gamma)\}, \quad \gamma \equiv \rho^2/r_0^2, \quad (5)$$

где ρ – радиус круга (радиус поперечного сечения 1-го волокна).

Как известно, волновод со ступенчатым профилем показателем преломления является одномодовым, если [5, 13]:

$$0 < V \equiv (2\pi\rho/\lambda) NA = (2\pi\rho/\lambda) \sqrt{n_{\text{вол}}^2 - n_{\text{обл}}^2} < 2.405, \quad (6)$$

где $n_{\text{вол}}, n_{\text{обл}}$ – показатели преломления волокна и оболочки соответственно, V – волноводное число (нормализованная частота), NA – числовая апертура, λ – длина волны. В соответствии с этой формулой для радиуса модового пятна можем воспользоваться выражением, справедливым при $V < 2.5$ [13, 14]:

$$r_0 \cong 0.4\lambda / \sqrt{n_{\text{вол}}^2 - n_{\text{обл}}^2} \rightarrow \gamma = \frac{\rho^2}{r_0^2} = 0.16V^2, \quad (7)$$

и результат запишется в виде

$$P_{1(\text{круг})}(V) = C \pi r_0^2 \{1 - \exp(-0.16V^2)\}. \quad (8)$$

2.2. Мощность энергии, проходящей через поперечное эллиптическое сечение второго фрагмента

Согласно уравнению эллипса

$$\frac{x^2}{a^2} + \frac{y^2}{b^2} = 1, \quad \varepsilon \equiv \sqrt{1 - \frac{b^2}{a^2}} \quad (b \leq \rho \leq a, \varepsilon \in (0,1)) \quad (9)$$

(a, b – соответственно большая и малая полуоси, ε – эксцентриситет) в этом случае, переходя к полярным координатам $x = r \cos \phi, y = r \sin \phi$, запишем

$$\begin{aligned}
 P_{2(\text{эл})} &= C \int_{x^2/a^2 + y^2/b^2 \leq 1} \exp(-r^2/r_0^2) r dr d\varphi = \\
 &= \left\{ r \leq \frac{1}{\sqrt{\cos^2 \varphi/a^2 + \sin^2 \varphi/b^2}} \right\} = \\
 &= C \int_0^{2\pi} d\varphi \left(\int_0^{1/\sqrt{\cos^2 \varphi/a^2 + \sin^2 \varphi/b^2}} \exp(-r^2/r_0^2) r dr \right) = \\
 &= \left\{ 1 - \frac{2}{\pi} \int_0^{\pi/2} \exp\left\{ -\frac{b^2(1 + \text{tg}^2 \varphi)}{r_0^2(b^2/a^2 + \text{tg}^2 \varphi)} \right\} d\varphi \right\} \times \\
 &\quad \times C\pi r_0^2 = (z = \text{tg} \varphi) = \\
 &= C\pi r_0^2 \left\{ 1 - \frac{2}{\pi} \int_0^\infty \exp\left\{ -\frac{b^2(1 + z^2)}{r_0^2\left(\frac{b^2}{a^2} + z^2\right)} \right\} \frac{dz}{1 + z^2} \right\}.
 \end{aligned} \tag{10}$$

Полагая равными объемы профилей, запишем

$$\begin{aligned}
 \pi ab &= \pi \rho^2 \rightarrow ab = \rho^2 \rightarrow \varepsilon^2 = \\
 &= \left\{ 1 - \frac{\rho^4}{a^4} \rightarrow \left\{ a = \rho(1 - \varepsilon^2)^{-1/4} \right. \right. \\
 &\quad \left. \left. 1 - \frac{b^4}{\rho^4} \rightarrow \left\{ b = \rho(1 - \varepsilon^2)^{1/4} \right. \right. \right\},
 \end{aligned} \tag{11}$$

и с учетом (7) формула принимает вид

$$\begin{aligned}
 P_{2(\text{эл})}(\varepsilon, V) &= C\pi r_0^2 \times \\
 &\times \left\{ 1 - \frac{2}{\pi} \exp(-0.16V^2 \sqrt{1 - \varepsilon^2}) I(\varepsilon, V) \right\}, \\
 I(\varepsilon, V) &\equiv \\
 &\equiv \int_0^\infty \exp\left\{ -0.16V^2 \frac{\varepsilon^2 \sqrt{1 - \varepsilon^2}}{(1 - \varepsilon^2 + z^2)} \right\} \frac{dz}{1 + z^2}.
 \end{aligned} \tag{12}$$

Легко видеть, что

$$P_{2(\text{эл})}(0, V) = P_{1(\text{круг})}(V), \quad P_{2(\text{эл})}(1, V) = 0, \tag{13}$$

как и следовало ожидать.

2.3. Мощность энергии, проходящей через пересечение эллиптического сечения с круговым

Решим систему уравнений для определения точек пересечения соосных эллипса и окружности:

$$\begin{cases} x^2 + y^2 = r^2 \\ \frac{x^2}{a^2} + \frac{y^2}{b^2} = 1 \end{cases} \rightarrow x_1 = -x_2 \equiv x_0 = \rho \frac{\sqrt{1 - \sqrt{1 - \varepsilon^2}}}{\varepsilon}, \tag{14}$$

$$y_1 = -y_2 \equiv y_0 = \sqrt{\rho^2 - x_0^2}.$$

Определим угол α – угол между радиусом, проведенным в точку пересечения с координатами (x_0, y_0) , и осью x :

$$\begin{aligned}
 \cos \alpha &\equiv \frac{x_0}{\rho} = \frac{\sqrt{1 - \sqrt{1 - \varepsilon^2}}}{\varepsilon} \rightarrow \alpha = \\
 &= \arccos \left\{ \frac{\sqrt{1 - \sqrt{1 - \varepsilon^2}}}{\varepsilon} \right\}.
 \end{aligned} \tag{15}$$

Площадь пересечения рассматриваемых соосных эллипса и окружности равна площади эллипса минус площади эллиптических сегментов при $x \geq x_0, x \leq -x_0$ (начало сегмента $x \geq x_0$ при $x > 0$, прямая $x = x_0$, находится под углом 2α из центра) и плюс площади круговых сегментов (также при $x \geq x_0, x \leq -x_0$ и под тем же углом из центра). Поскольку

$$\begin{aligned}
 x \geq x_0 &\rightarrow r \cos \varphi \geq \rho \cos \alpha \rightarrow \\
 &\rightarrow r \geq \rho(\cos \alpha / \cos \varphi),
 \end{aligned} \tag{16}$$

то получим $(\text{tg} \alpha = (1 - \varepsilon^2)^{1/4})$:

$$\begin{aligned}
 P_{1(\text{круг}) \cap 2(\text{эл})} &= P_{2(\text{эл})} - 2C \times \\
 &\times \int_{-\alpha}^{\alpha} d\varphi \left\{ \int_{\frac{\rho \cos \alpha}{\cos \varphi}}^{\frac{1}{\sqrt{\frac{\cos^2 \varphi}{a^2} + \frac{\sin^2 \varphi}{b^2}}}} \exp\left(-\frac{r^2}{r_0^2}\right) r dr \right\} + \\
 &+ 2C \int_{-\alpha}^{\alpha} d\varphi \left\{ \int_{\rho \cos \alpha / \cos \varphi}^{\rho} \exp\left(-\frac{r^2}{r_0^2}\right) r dr \right\}.
 \end{aligned} \tag{17}$$

Путем несложных вычислений и с учетом (7) окончательно получим (где I взято из (12)):

$$\begin{aligned}
 P_{1(\text{круг}) \cap 2(\text{эл})} &= C\pi r_0^2 \times \\
 &\times \left\{ 1 - \frac{2}{\pi} \exp\left\{ -0.16V^2 \sqrt{1 - \varepsilon^2} \right\} I(\varepsilon, V) + \right. \\
 &\quad \left. + \frac{2}{\pi} \exp\left\{ -0.16V^2 \sqrt{1 - \varepsilon^2} \right\} I_1(\varepsilon, V) - \right. \\
 &\quad \left. - \frac{2}{\pi} \exp(-0.16V^2) \arccos \left[\frac{\sqrt{1 - \sqrt{1 - \varepsilon^2}}}{\varepsilon} \right] \right\}, \\
 I_1 &= I_1(\varepsilon, V) \equiv \\
 &\equiv \int_0^{(1 - \varepsilon^2)^{1/4}} \exp\left\{ -0.16V^2 \frac{\varepsilon^2 \sqrt{1 - \varepsilon^2}}{(1 - \varepsilon^2 + z^2)} \right\} \frac{dz}{1 + z^2}.
 \end{aligned} \tag{18}$$

Легко видеть, что

$$\begin{aligned}
 \lim_{\varepsilon \rightarrow 0} \{ P_{1(\text{круг}) \cap 2(\text{эл})}(\varepsilon, V) \} &= P_{1(\text{круг})}(V), \\
 P_{1(\text{круг}) \cap 2(\text{эл})}(1, V) &= 0,
 \end{aligned} \tag{19}$$

как и следовало ожидать.

2.4. Влияние деформации поперечного сечения волокна на передачу энергии

Влияние деформации поперечного сечения волокна на передачу энергии, согласно (8) и (12), можно описать относительной величиной $\eta(\epsilon, V)$:

$$\eta(\epsilon, V) \equiv \frac{P_{2(\text{эл})}(\epsilon, V)}{P_{1(\text{круг})}(V)} = \frac{\left\{1 - \frac{2}{\pi} \exp\left\{-0.16V^2\sqrt{1-\epsilon^2}\right\} I(\epsilon, V)\right\}}{\left\{1 - \exp(-0.16V^2)\right\}}, \quad (20)$$

которая при изменении эксцентриситета ϵ от 0 до 1 убывает от 1 до 0 согласно (13). Численные расчеты дают следующую графическую зависимость. Из рис. 1 видно, что величина η быстрее убывает при возрастании волноводного параметра V . Для расчетов выбраны следующие значения параметра V : $V_1 = 0.5$; $V_2 = 1$; $V_3 = 1.5$; $V_4 = 2$; $V_5 = 2.4$.

3. РАСЧЕТ ПОТЕРЬ ЭНЕРГИИ

3.1. Часть потерь энергии при передаче из фрагмента 1 во фрагмент 2

Согласно (3), (8) и (18) имеем

$$a_{\text{пот}(1 \rightarrow 2)}(\epsilon, V) = -10 \lg \left\{ \frac{P_{1(\text{круг}) \cap 2(\text{эл})}(\epsilon, V)}{P_{1(\text{круг})}(V)} \right\} = -10 \lg \left\{ \frac{P_{1(\text{круг}) \cap 2(\text{эл})}(\epsilon, V)}{\left[1 - \exp(-0.16V^2)\right]} \right\}; \quad (21)$$

$$P_{1(\text{круг}) \cap 2(\text{эл})}(\epsilon, V) = \left\{1 - \frac{2}{\pi} \exp\left\{-0.16V^2\sqrt{1-\epsilon^2}\right\} I + \frac{2}{\pi} \exp\left\{-0.16V^2\sqrt{1-\epsilon^2}\right\} I_1 - \frac{2}{\pi} \exp(-0.16V^2) \arccos \left[\frac{\sqrt{1-\sqrt{1-\epsilon^2}}}{\epsilon} \right] \right\},$$

$$I_1 = I_1(\epsilon, V) \equiv$$

$$\equiv \int_0^{(1-\epsilon^2)^{1/4}} \exp\left\{-0.16V^2 \frac{\epsilon^2\sqrt{1-\epsilon^2}}{(1-\epsilon^2+z^2)}\right\} \frac{dz}{1+z^2},$$

где $I = I(\epsilon, V)$ определено в (12).

3.2. Часть потерь энергии при передаче из фрагмента 2 во фрагмент 1

Согласно (3), (12) и (18) имеем

$$a_{\text{пот}(2 \rightarrow 1)}(\epsilon, V) = -10 \lg \left\{ \frac{P_{1(\text{круг}) \cap 2(\text{эл})}(\epsilon, V)}{P_{2(\text{эл})}(\epsilon, V)} \right\} = -10 \lg \left\{ \frac{P_{1(\text{круг}) \cap 2(\text{эл})}(\epsilon, V)}{\left[1 - \exp\left\{-0.16V^2\sqrt{1-\epsilon^2}\right\} I(\epsilon, V)\right]} \right\}, \quad (22)$$

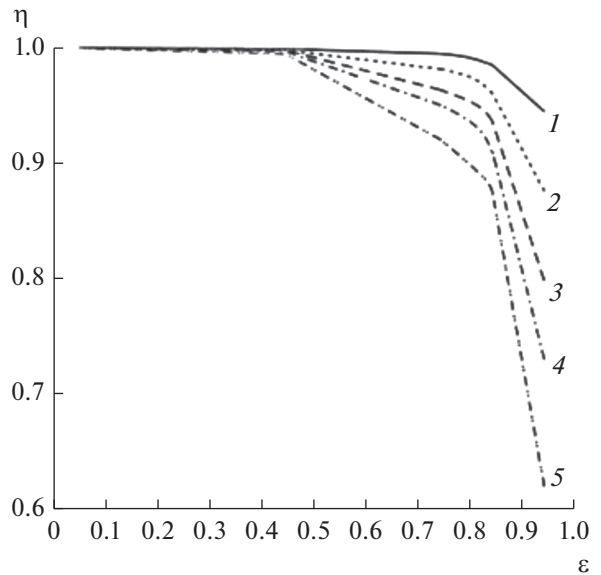


Рис. 1. Зависимость величины η от эксцентриситета ϵ при различных значениях волноводного параметра $V = 0.5$ (1), 1 (2), 1.5 (3), 2 (4), 2.4 (5).

где $I = I(\epsilon, V)$ также определено в (12), а $P_{1(\text{круг}) \cap 2(\text{эл})}$ берется из (21).

3.3. Полные потери энергии при соединении фрагментов 1 и 2 волоконной линии

Выражения для потерь энергии, рассчитанные на основах электродинамики, в направлениях $1 \rightarrow 2$ и $2 \rightarrow 1$ не совпадают, и это связано с тем, что на самом деле выражения (21), (22) являются составляющими полных потерь. Действительно, для стыкуемых фрагментов волноводной линии справедлива формула для потерь энергии $a_{\text{пот}}$ [15, 16]:

$$a_{\text{пот}} = -10 \lg \left\{ \frac{\left| \iint E_{\text{круг}} E_{\text{эл}} r dr d\phi \right|^2}{\iint |E_{\text{круг}}|^2 r dr d\phi \iint |E_{\text{эл}}|^2 r dr d\phi} \right\}. \quad (23)$$

В нашем случае согласно (4), (5), (12) и (18) имеем

$$a_{\text{пот}} = -10 \lg \left\{ \frac{\left| P_{1(\text{круг}) \cap 2(\text{эл})} \right|^2}{P_{1(\text{круг})} P_{2(\text{эл})}} \right\},$$

так что в соответствии с (21), (22) окончательно получаем

$$a_{\text{пот}}^{\text{полн}}(\epsilon, V) = a_{\text{пот}(1 \rightarrow 2)}(\epsilon, V) + a_{\text{пот}(2 \rightarrow 1)}(\epsilon, V). \quad (24)$$

Численные расчеты дают графическую зависимость, представленную на рис. 2.

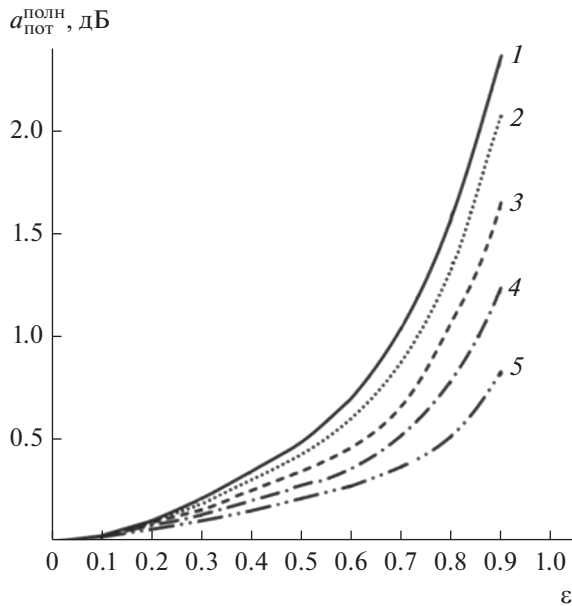


Рис. 2. Зависимость полных потерь энергии $a_{\text{пот}}^{\text{полн}}$ от эксцентриситета ϵ при различных значениях волноводного параметра $V = 0.5$ (1), 1 (2), 1.5 (3), 2 (4), 2.4 (5).

ЗАКЛЮЧЕНИЕ

Таким образом, можно сделать выводы, что в результате эллиптической деформации торца одного из двух сращиваемых фрагментов:

– величина $\eta(\epsilon, V)$ убывает при возрастании эксцентриситета и одновременно быстрее убывает при возрастании параметра V ;

– полные потери энергии $a_{\text{пот}}^{\text{полн}}$ увеличиваются при возрастании эксцентриситета и при этом одновременно уменьшаются при возрастании волноводного параметра.

При большой деформации полные потери увеличиваются с уменьшением волноводного числа V . Это может быть связано с тем, что в инфракрасной области с увеличением λ возрастают потери и согласно (6) возрастает волноводное число V . Это также может быть связано с тем, что в одномодовом

волокне с уменьшением ρ площадь пятна моды уменьшается вместе с волноводным числом V , что приводит на выходе из волокна к увеличению расхождения пучка и тем самым к увеличению потерь.

Приведенные данные помогут выбрать подходящий одномодовый режим для практических применений.

СПИСОК ЛИТЕРАТУРЫ

1. Мидвинтер Дж. Волоконные световоды для передачи информации. М.: Радио и связь, 1983.
2. Окоси Т., Окамото К., Оцу М. и др. Волоконно-оптические датчики. Л.: Энергоатомиздат, 1990.
3. Чео П.К. Волоконная оптика: Приборы и системы. М.: Энергоатомиздат, 1988.
4. Семенов Н.А. Оптические кабели связи: Теория и расчет. М.: Радио и связь, 1981.
5. Убайдуллаев Р.Р. Волоконно-оптические сети. М.: ИТЦ Эко-Трендз, 2000.
6. Маркузе Д. Оптические волноводы. М.: Мир, 1974.
7. Дмитриев А.Л. Оптические системы передачи информации. Учебное пособие. СПб: СПбГУИТМО, 2007.
8. Унгерн Х.Г. Планарные и волоконные оптические волноводы. М.: Мир, 1980.
9. Адамс М. Введение в теорию оптических волноводов. М.: Мир, 1984.
10. Снайдер А., Лав Дж. Теория оптических волноводов. М.: Радио и связь, 1987.
11. Воронин В.Г., Наний О.Е., Туркин А.Н. и др. Интегральные потери в элементах волоконно-оптических линий связи. М.: МАКС Пресс, 2012.
12. Бурдин А.В., Жуков А.Е., Прапорщиков Д.Е. // T-Comm: Телекоммуникации и транспорт. 2015. Т. 9. № 4. С. 60.
13. Листвин В.Н., Трещиков В.Н. // Фотон – экспресс. 2012. № 7. С. 30.
14. Гладких В.А. // Компьютерная оптика. 2019. Т. 43. № 4. С. 557.
15. Franco M.A.R., Vasconcellos L.C., Machado J.M. // Revista Científica Periódica – Telecomunicações. 2004. V. 7. № 1. P. 54.
16. Буров Н.В., Лин Дж., Ромашова В.Б. // Фотоника. 2018. Т. 12. № 1. С. 16.